



Trabajo Fin de Grado

Desarrollo de un sistema de comunicaciones VVLC con implementación de filtro adaptado en SoC FPGA

Realizado por: Andrés Casasola Domínguez

Dirigido por: Antonio García Zambrana

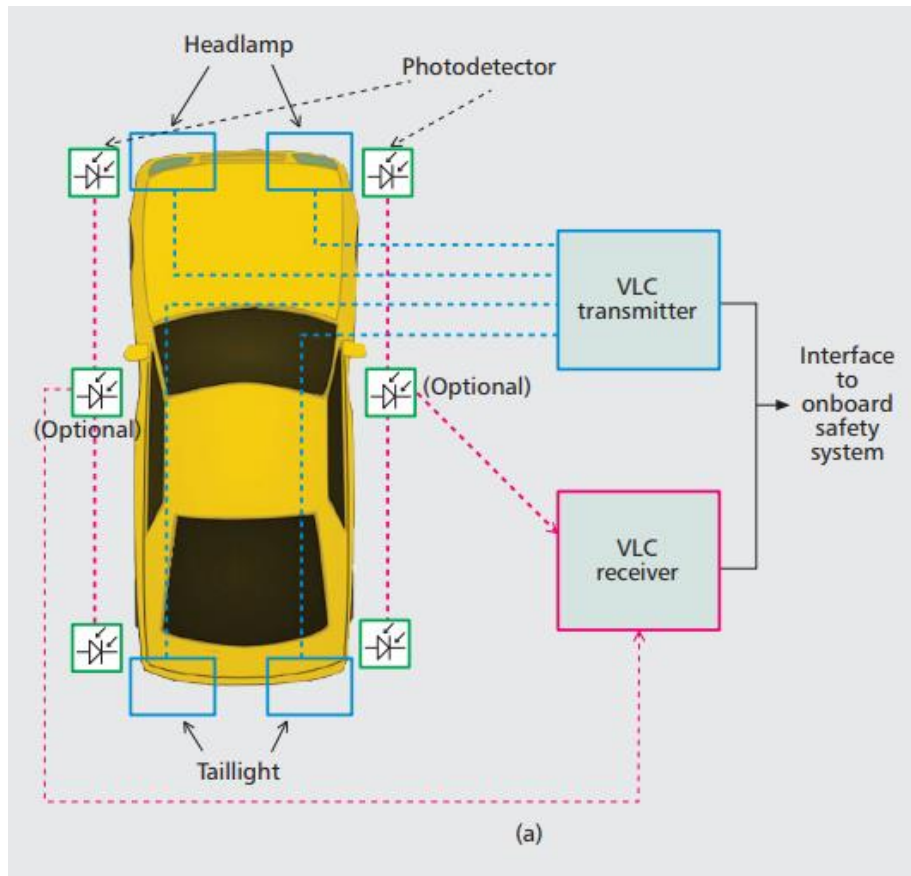
Ingeniería de Comunicaciones - UNIVERSIDAD DE MÁLAGA

Málaga, 12 de marzo de 2020

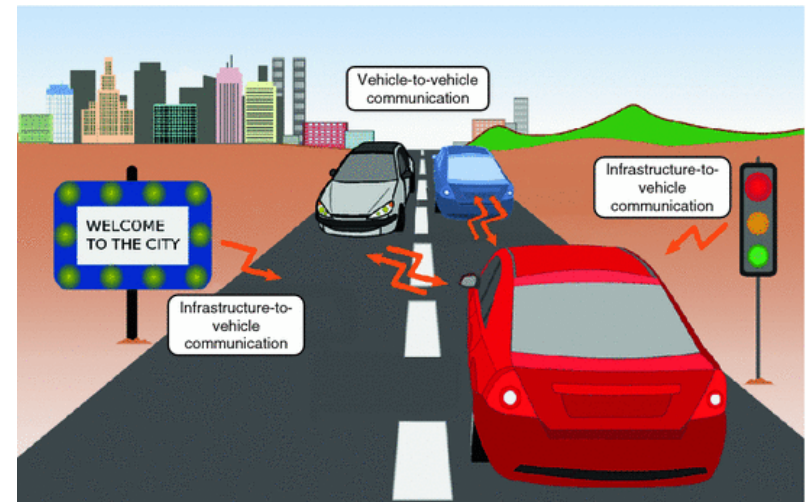
1. Objetivo
2. VVLC
3. Hardware
4. Sistema base
5. Filtro adaptado
6. Sistema mejorado
7. Pruebas
8. Conclusiones y líneas futuras

Mejorar las capacidades de un sistema de comunicación VVLC, diseñando e implementando un receptor óptimo, probando su funcionamiento y cuantificando sus capacidades.

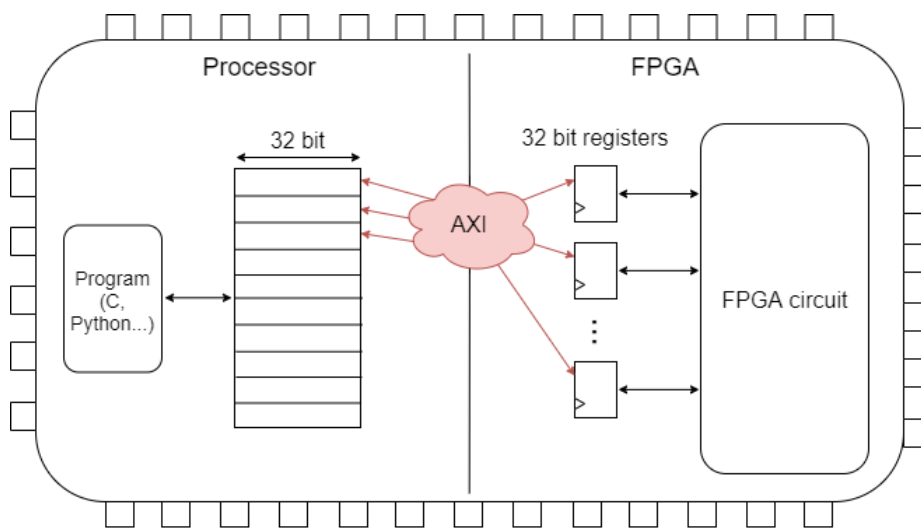
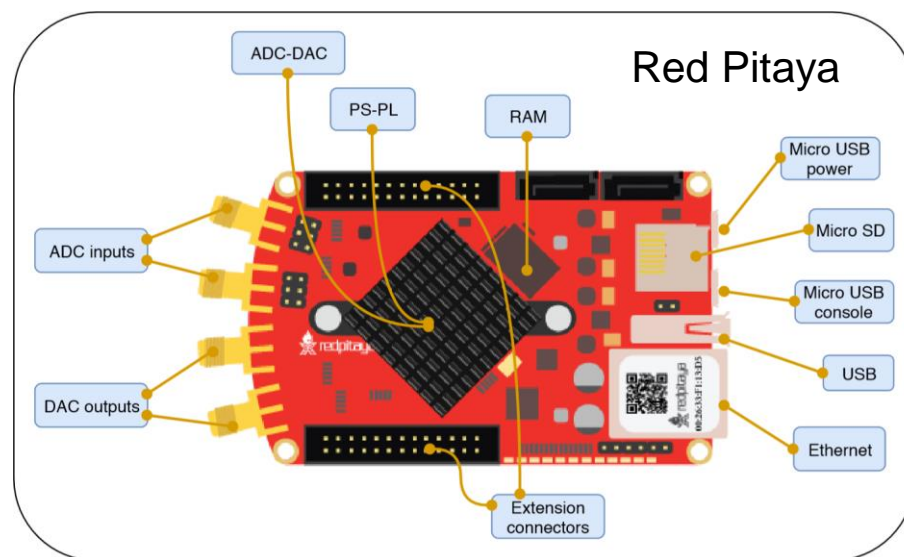
Vehicular Visible Light Communications



Fuente: Smart Automotive Lighting for Vehicle Safety, IEEE Communications Magazine.

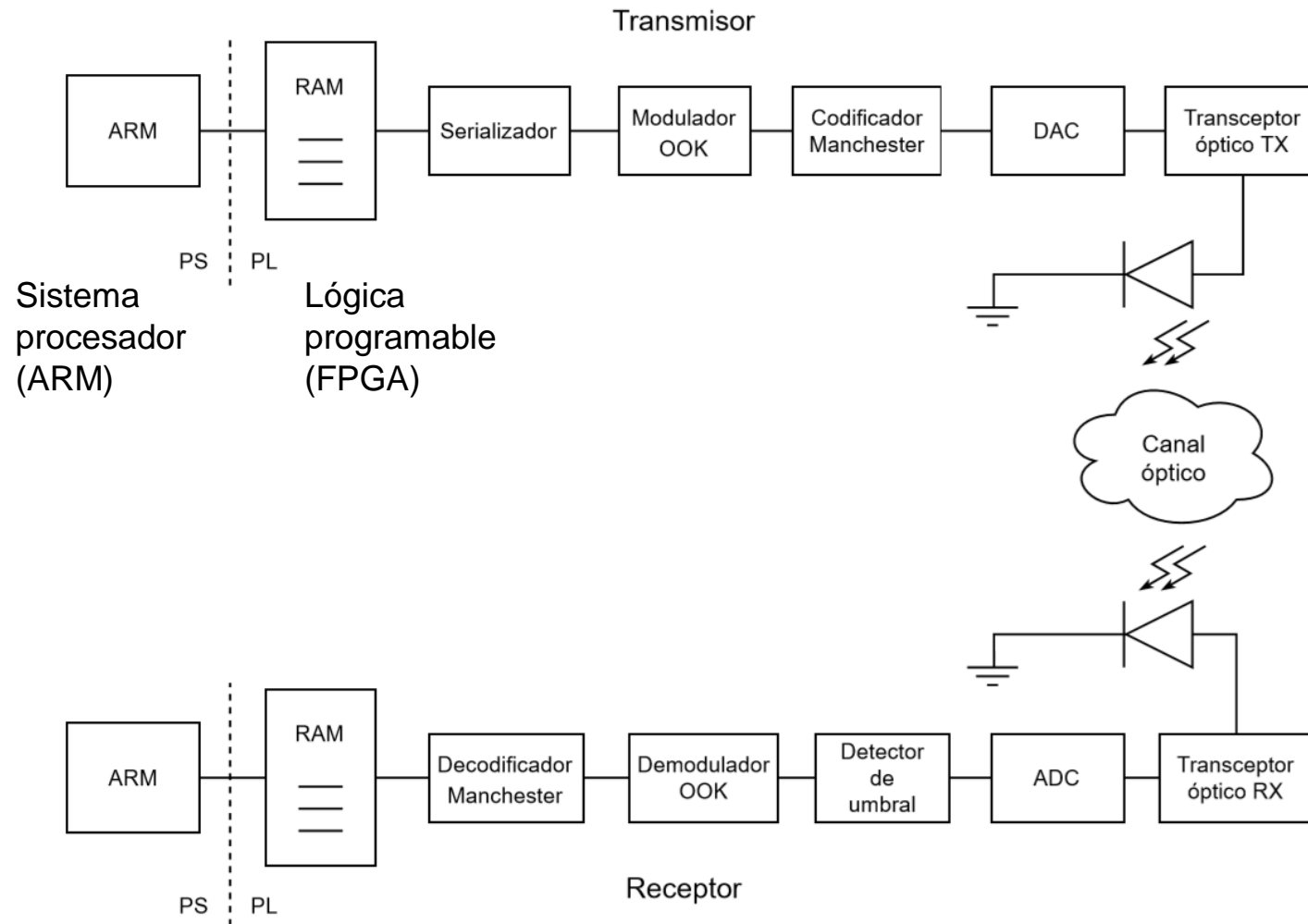


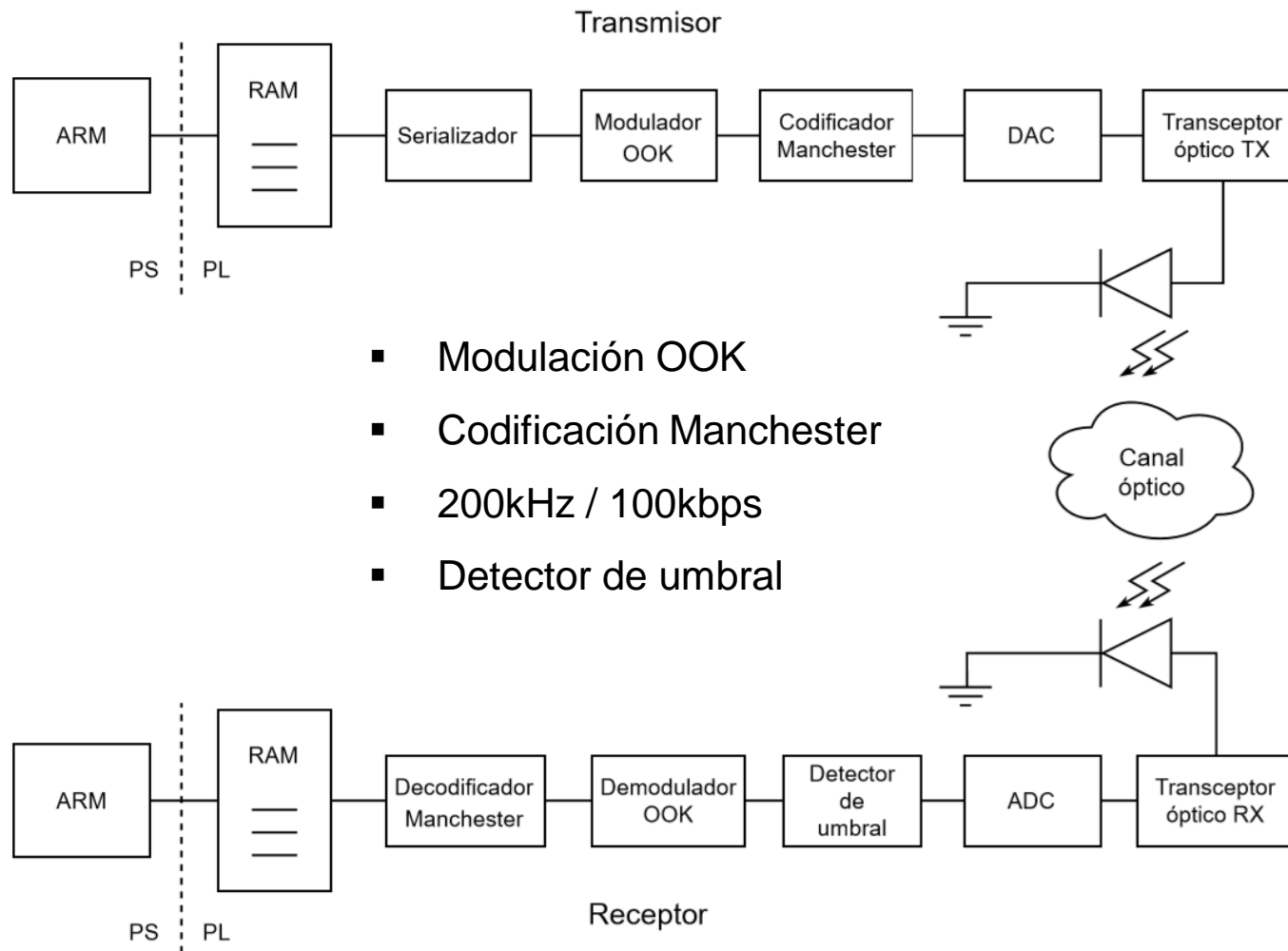
Fuente: Visible Light Communication for Cooperative ITS.

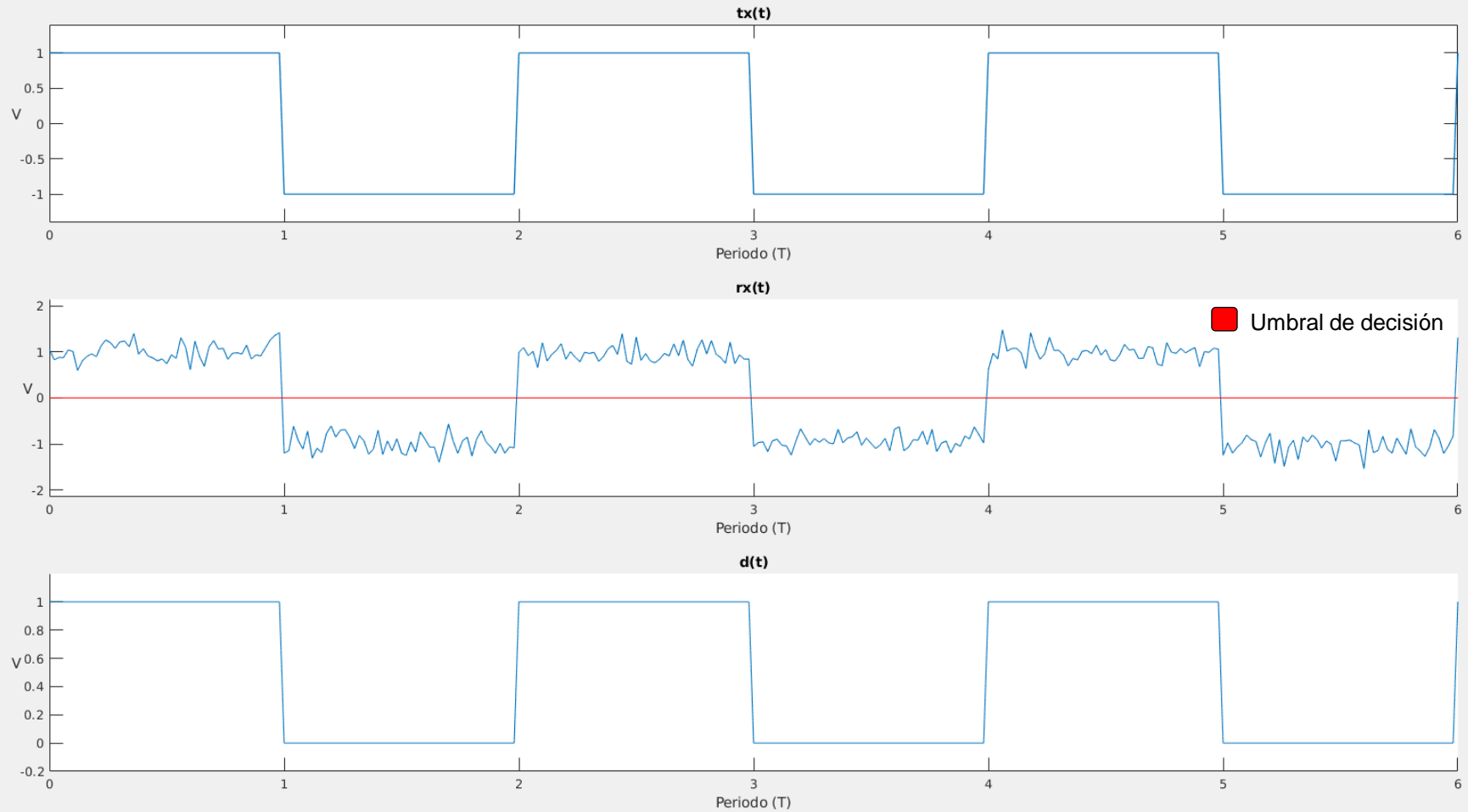




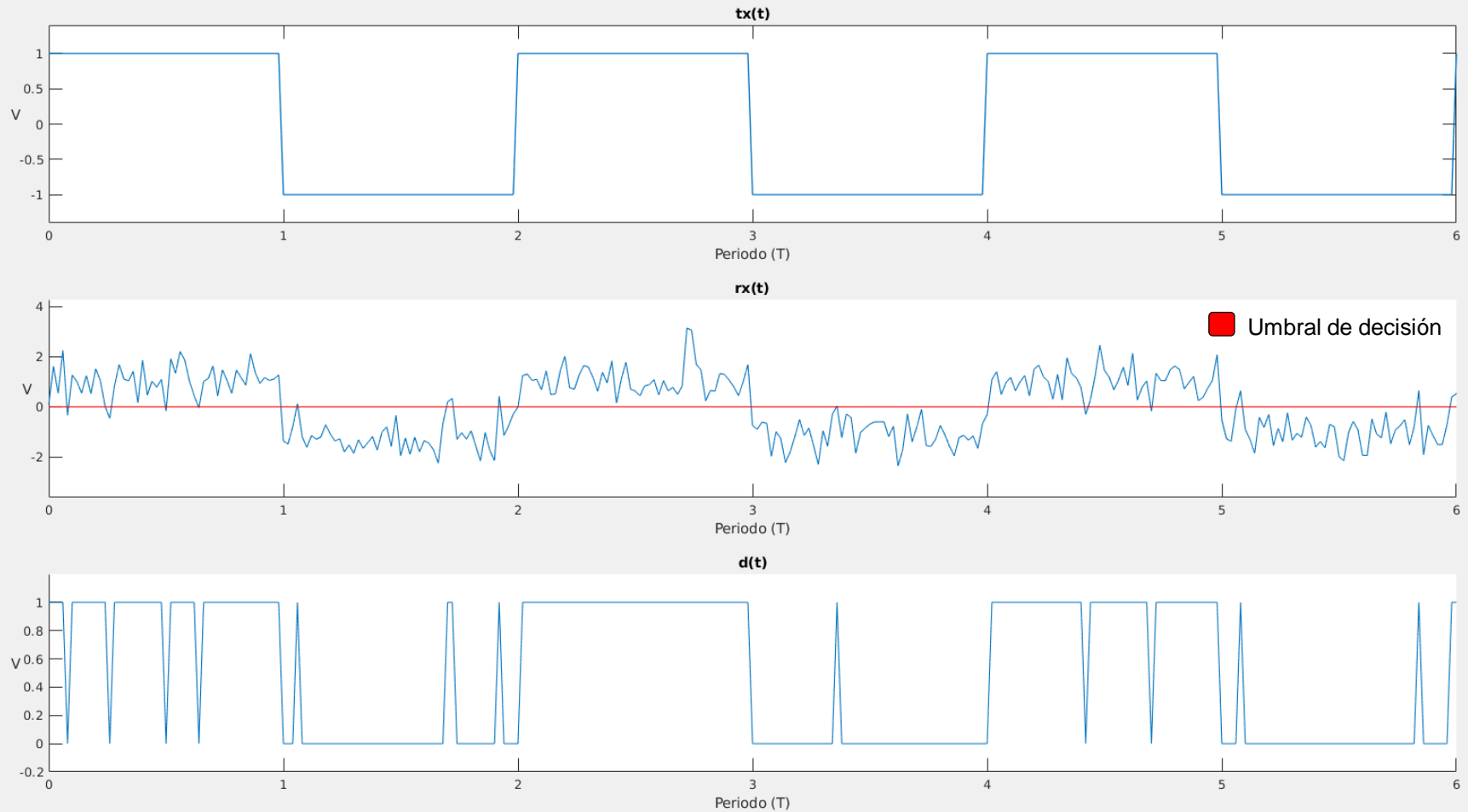
Sistema base







Sistema base: Gráficas





Filtro adaptado

Filtro adaptado a un patrón conocido

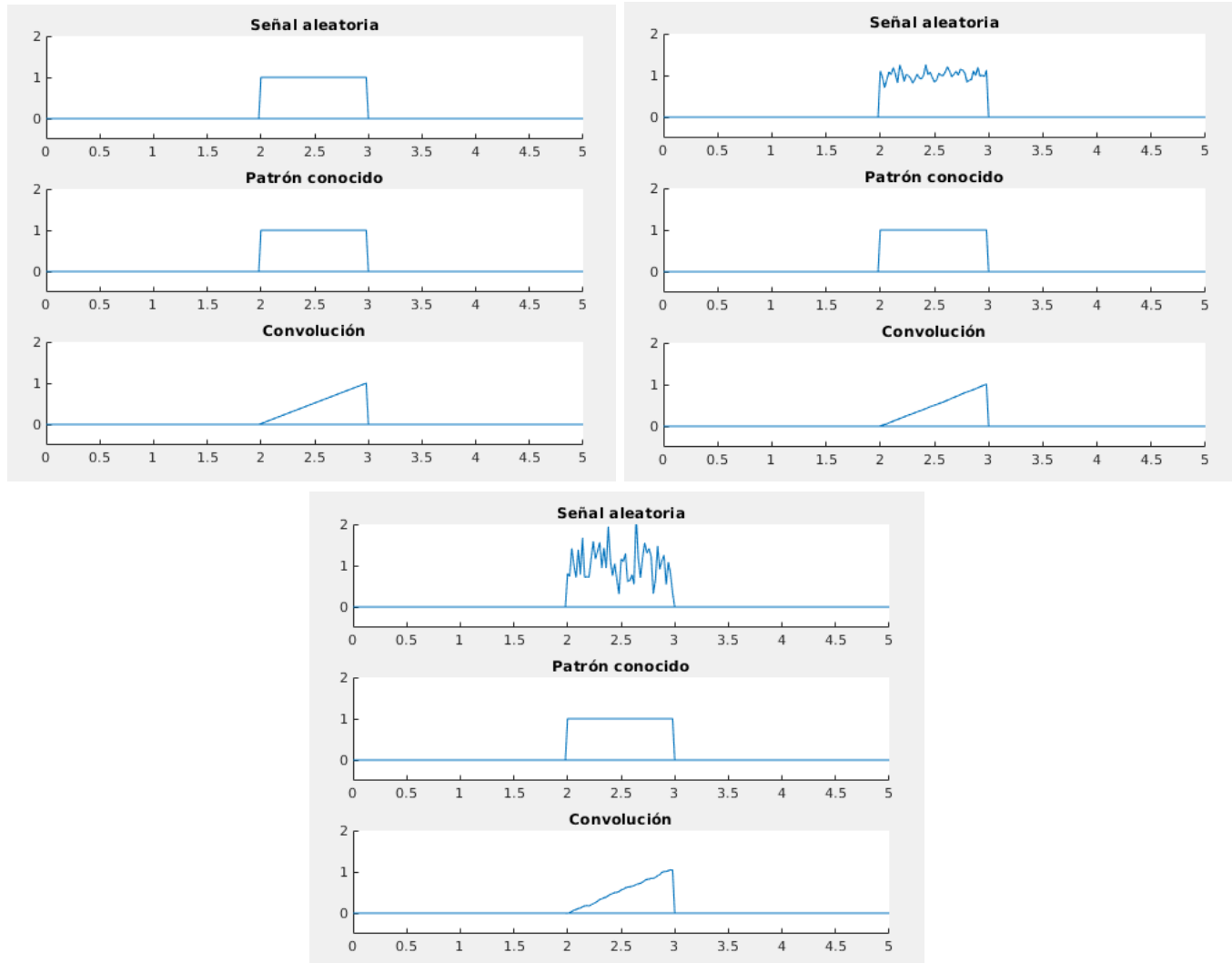
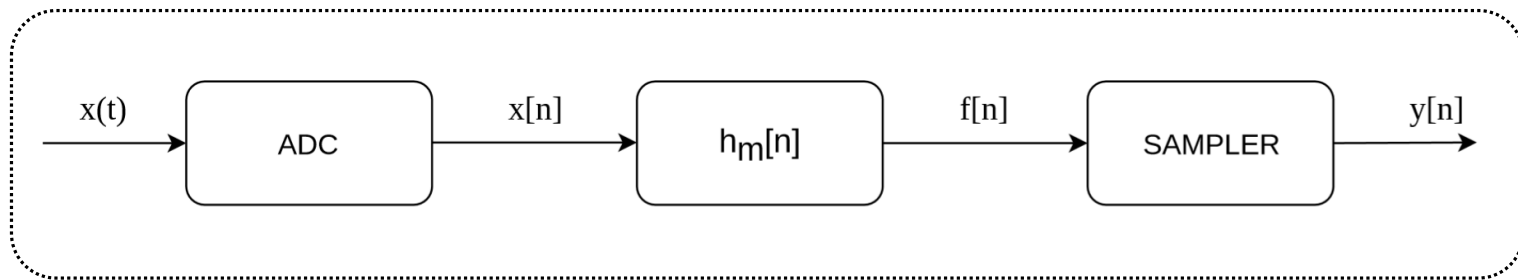
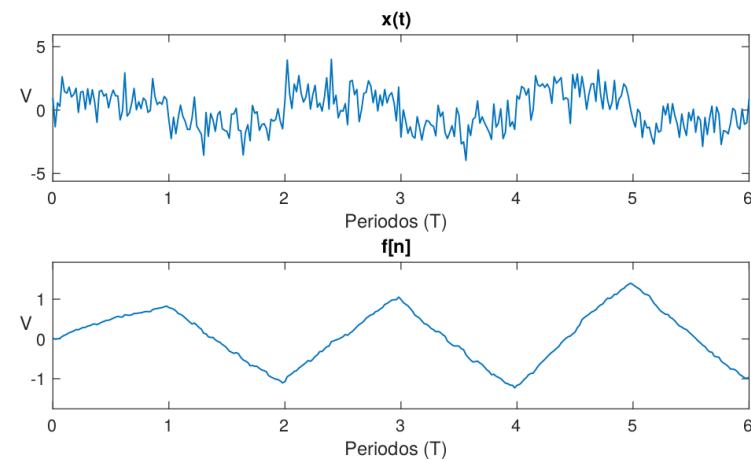
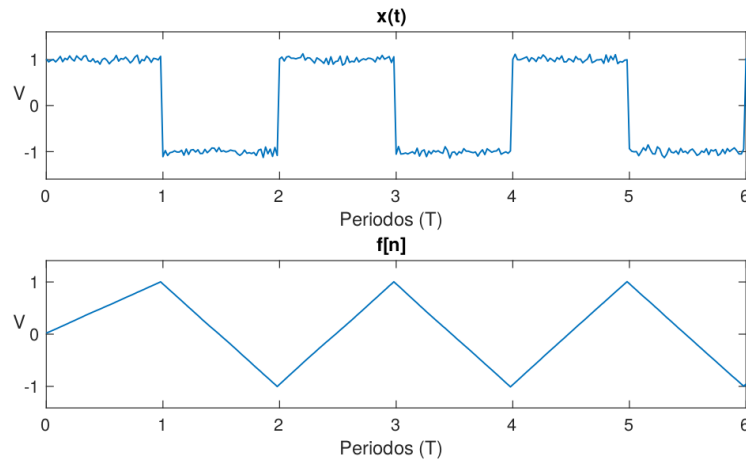
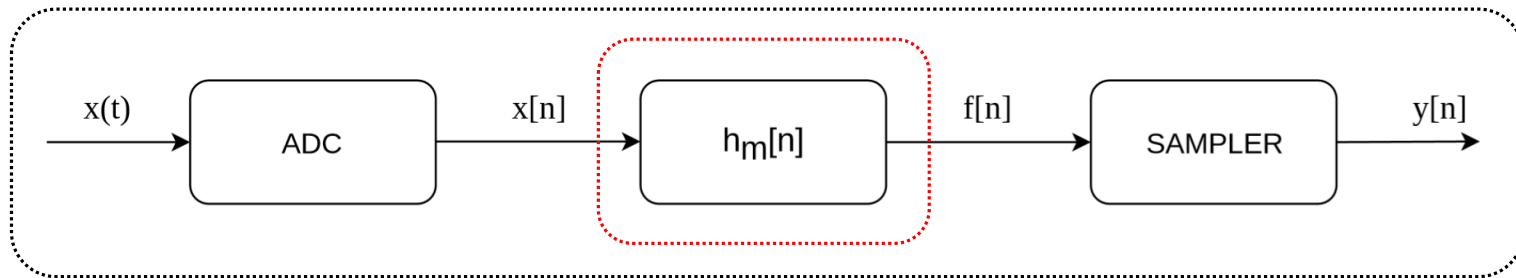


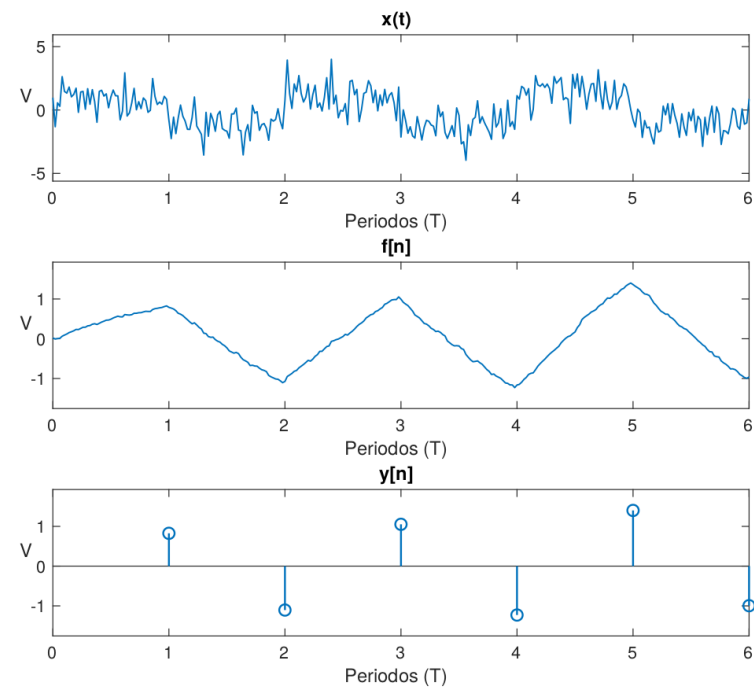
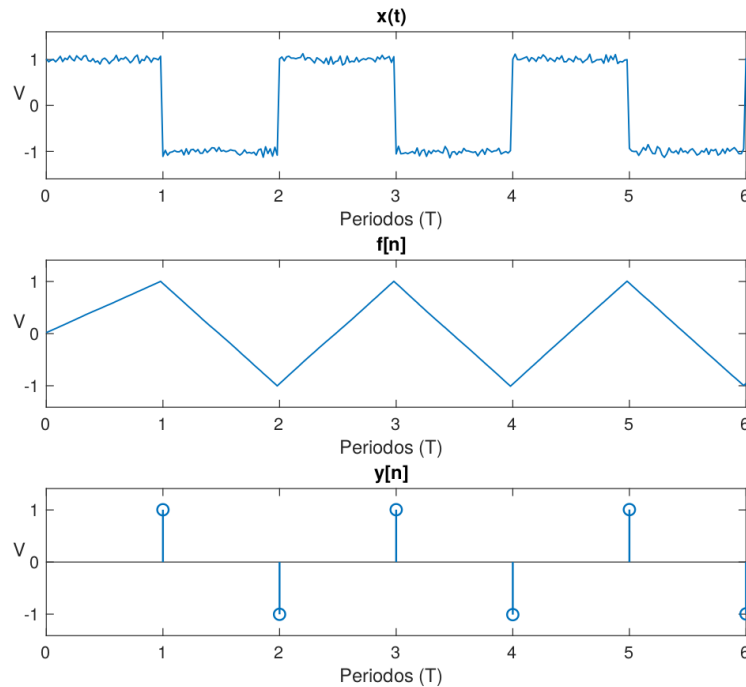
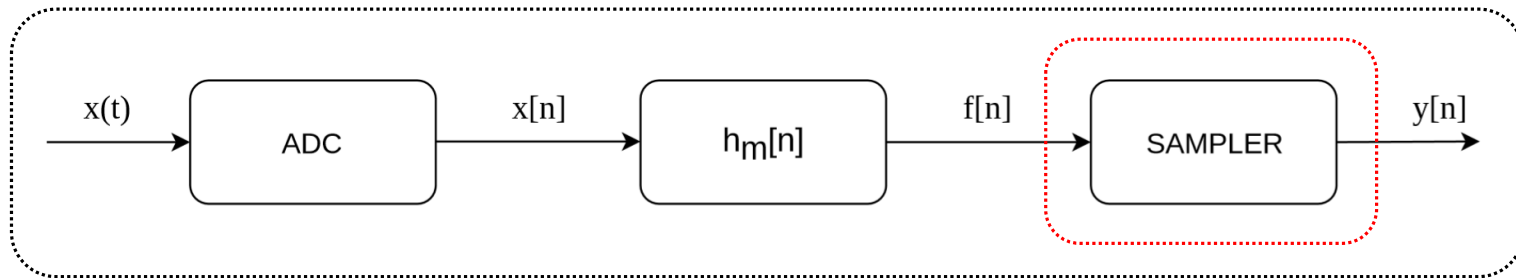
Diagrama de bloques del filtro adaptado



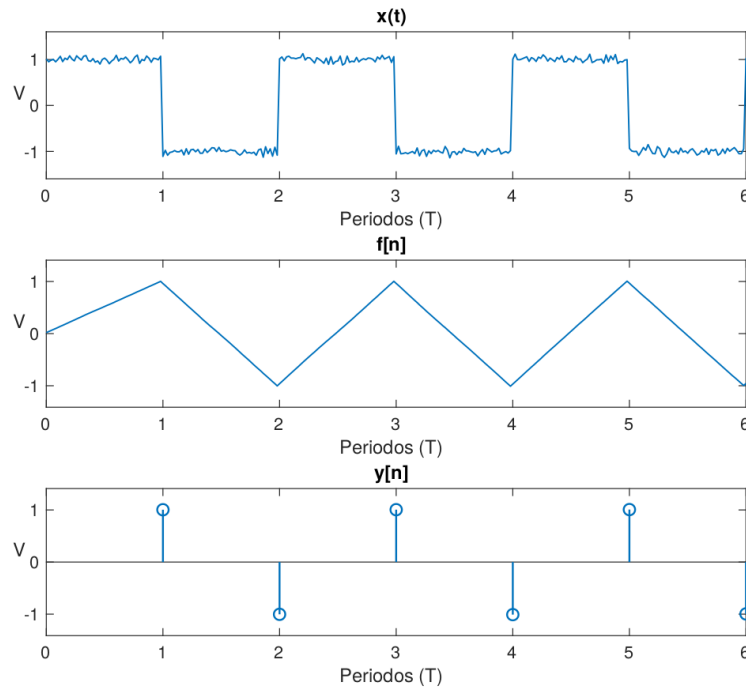
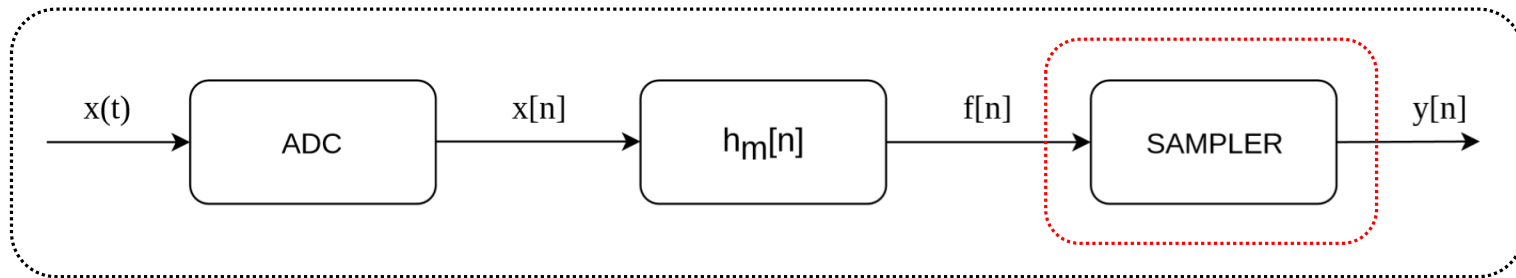
Sistema $h_m[n]$



Sistema sampleador



Sistema sampleador



El sistema sampleador debe:

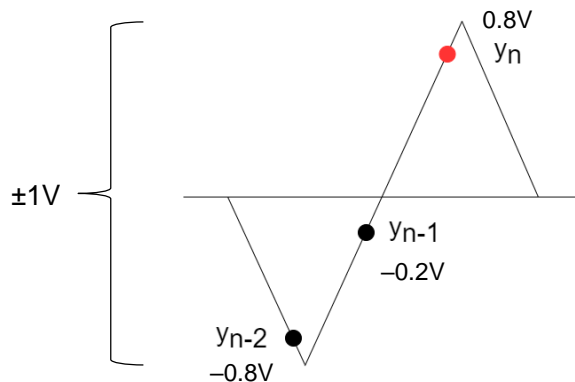
1. Capturar las muestras.
2. Calcular el error en fase de muestreo.
3. Desfasar la señal de muestreo.

Algoritmo de Gardner

$$\text{Error} = (y_n - y_{n-2}) \cdot y_{n-1}$$

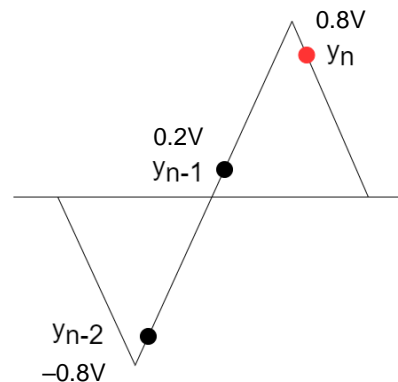
Ecuación de Gardner

Muestreo adelantado



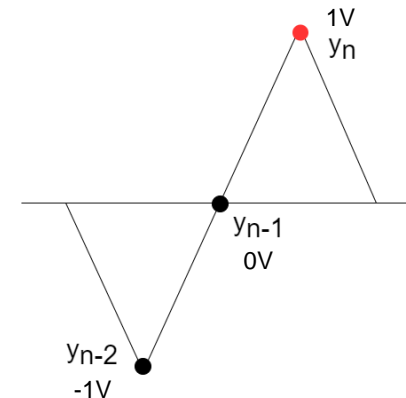
$$\begin{aligned} \text{Error} &= (0.8 - (-0.8)) \cdot (-0.2) \\ &= -0.32 \end{aligned}$$

Muestreo atrasado



$$\begin{aligned} \text{Error} &= (0.8 - (-0.8)) \cdot 0.2 \\ &= 0.32 \end{aligned}$$

Muestreo óptimo

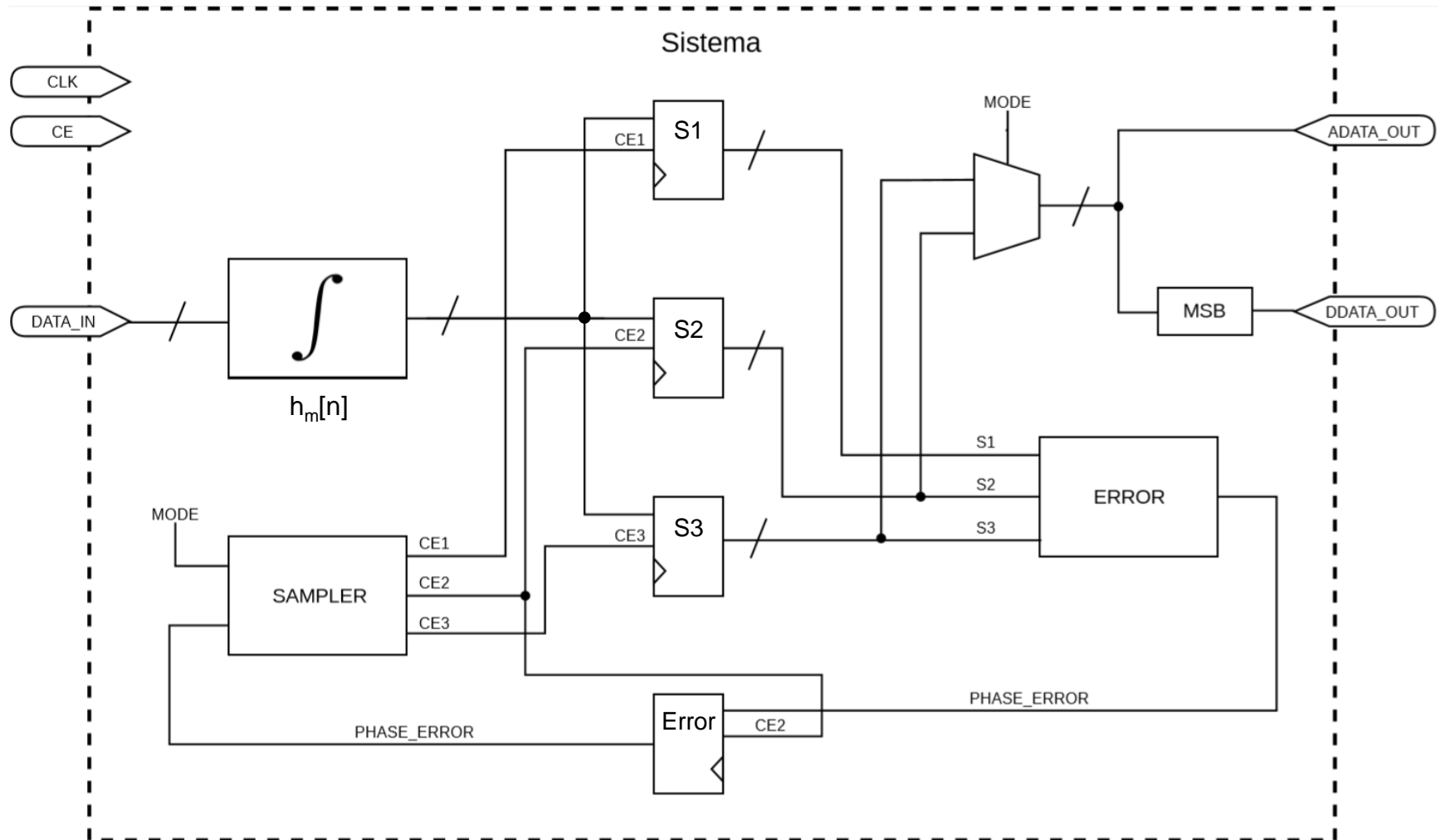


$$\text{Error} = (1 + 1) \cdot 0 = 0$$



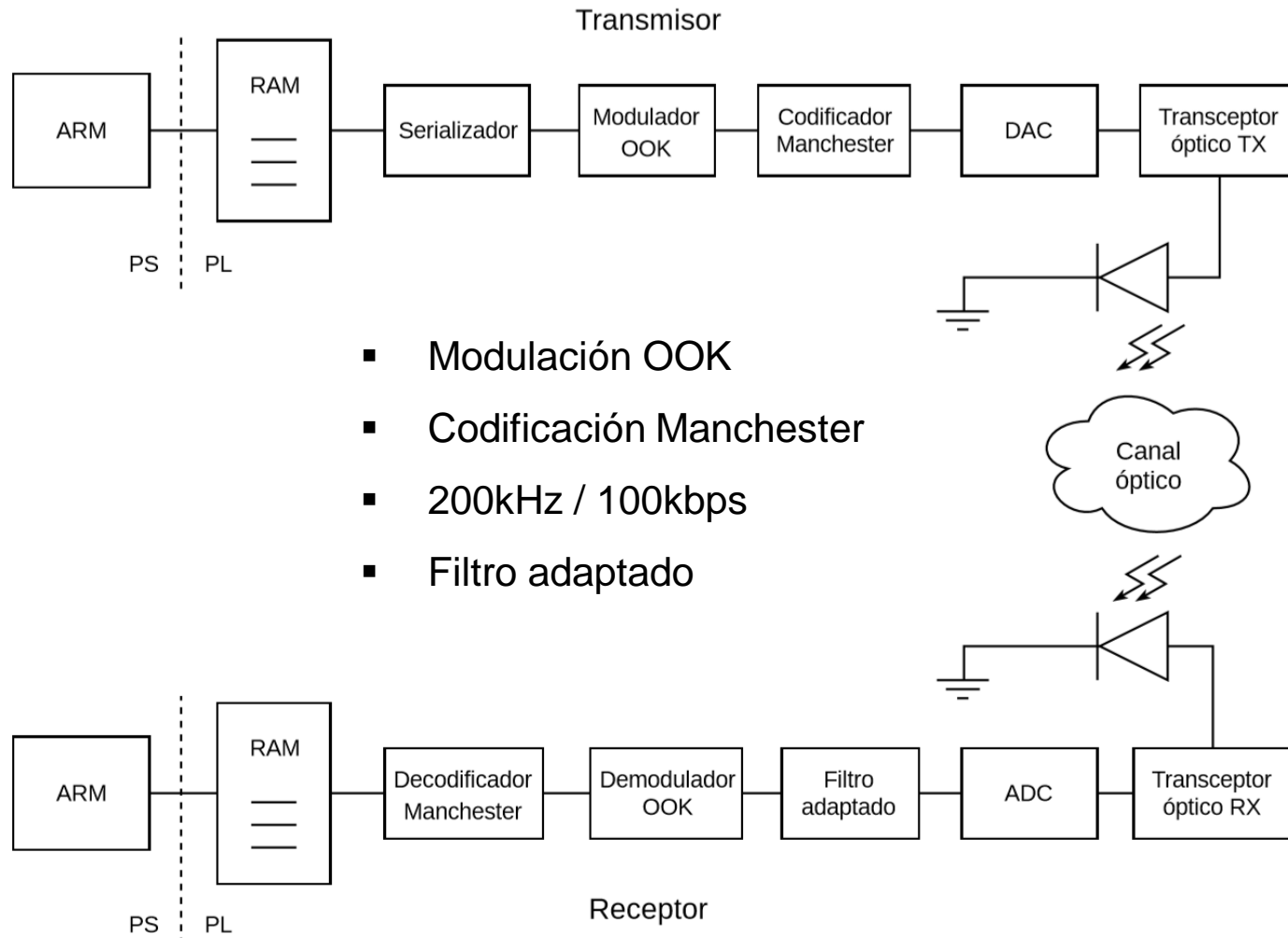
Implementación

Implementación

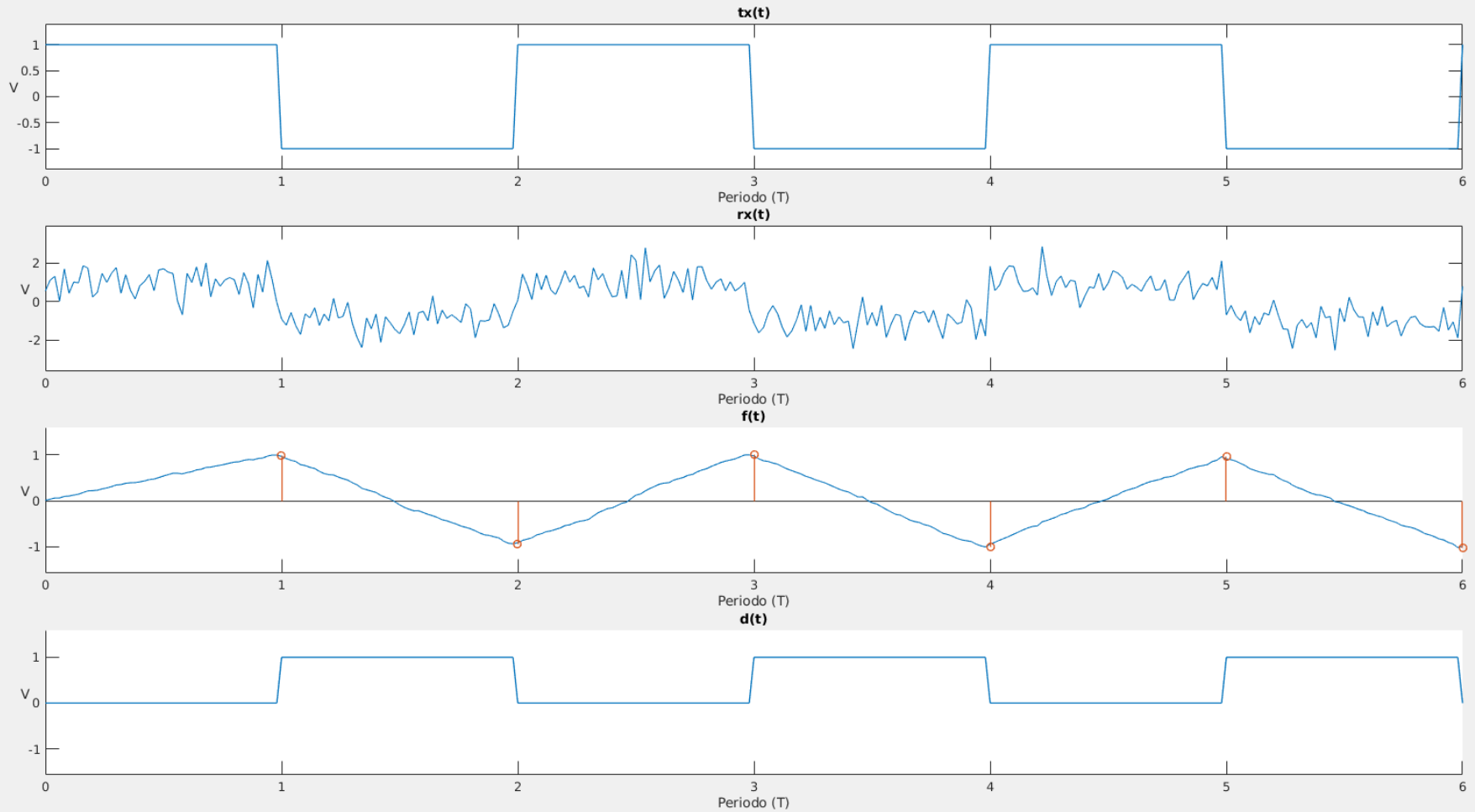




Sistema mejorado



Sistema mejorado: Gráficas

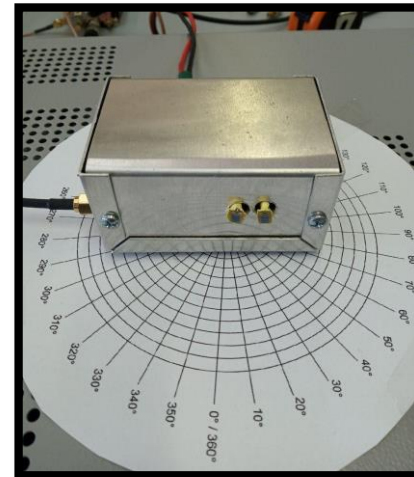
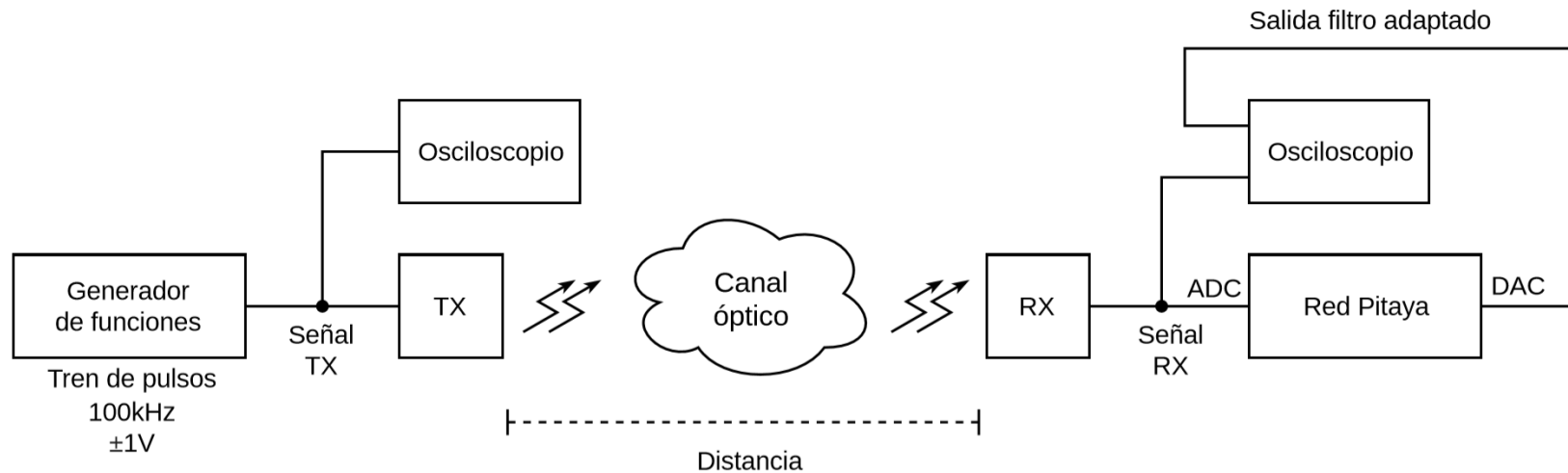




Pruebas

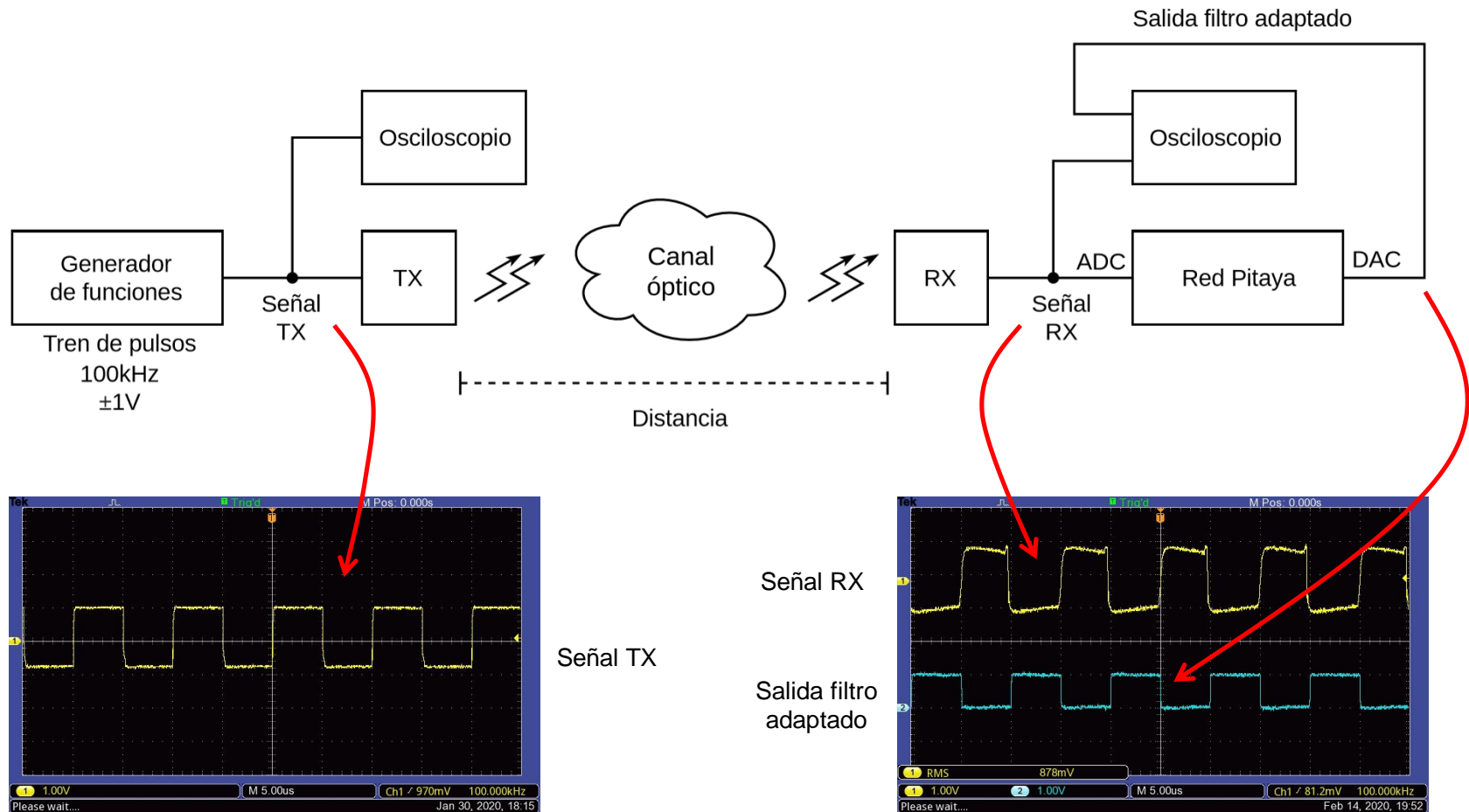
Recuperación de tren de pulsos

Configuración de equipos



Recuperación de tren de pulsos

Configuración de equipos

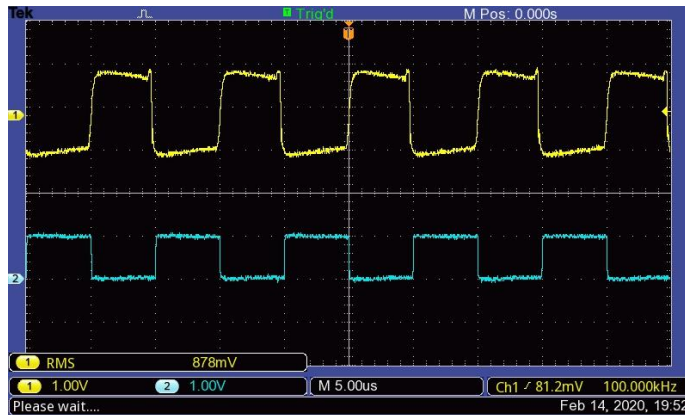


Recuperación de tren de pulsos

Experimentos de alcance

1

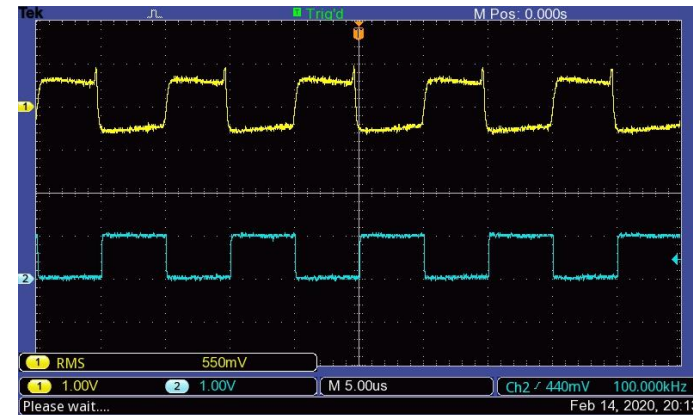
RMS:
878mV



Distancia de 2 metros

2

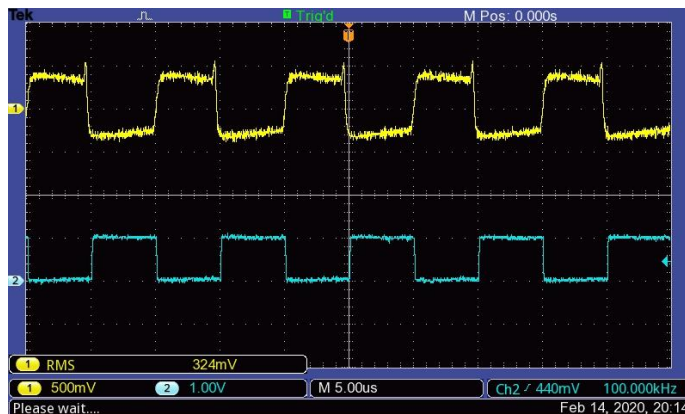
RMS:
550mV



Distancia de 3 metros

3

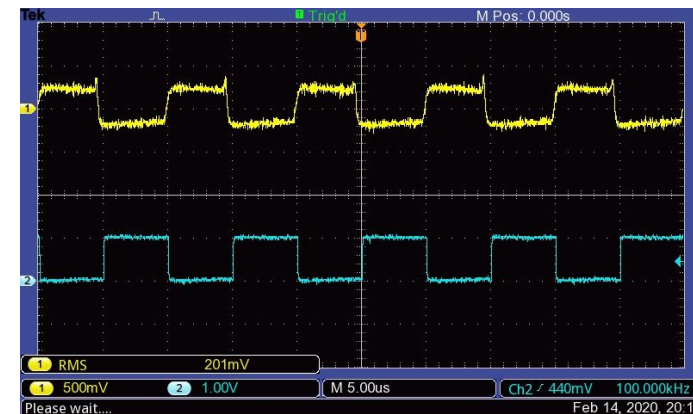
RMS:
324mV



Distancia de 4 metros

4

RMS:
201mV



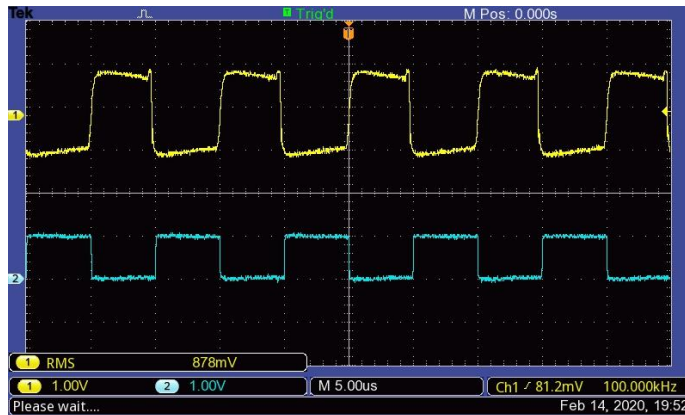
Distancia de 5 metros

Recuperación de tren de pulsos

Experimentos de desapuntamiento

1

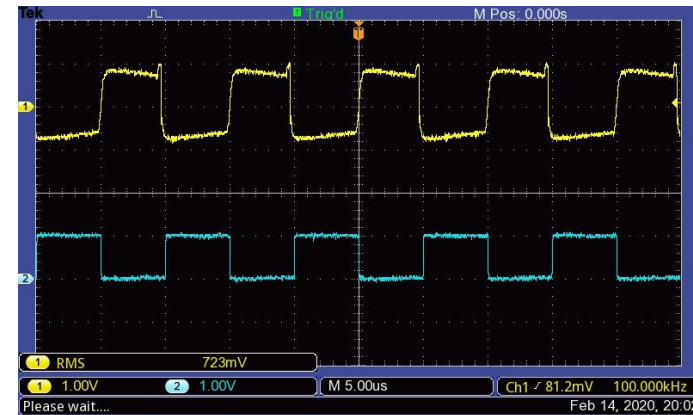
RMS:
878mV



Desapuntamiento de 0°

2

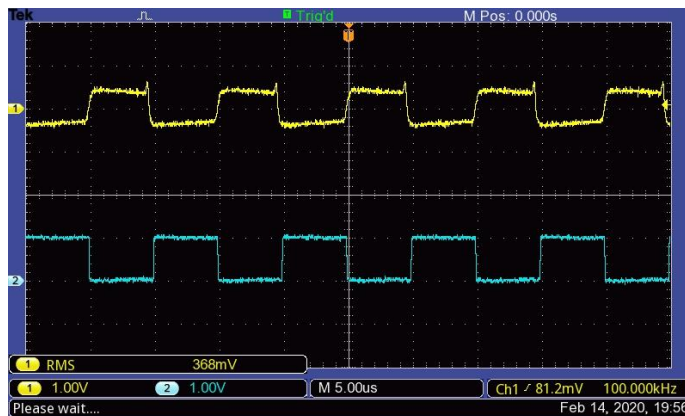
RMS:
723mV



Desapuntamiento de 30°

3

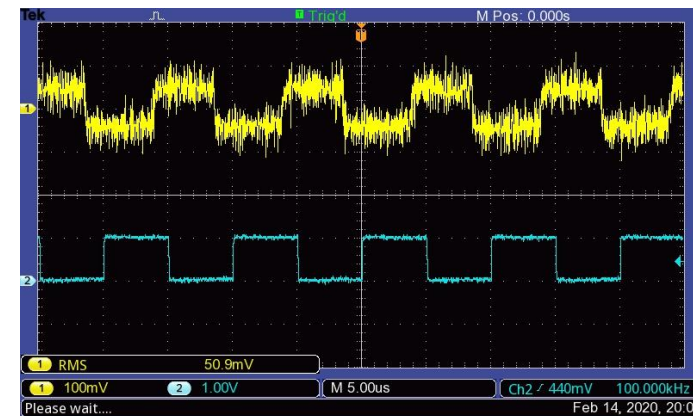
RMS:
368mV



Desapuntamiento de 60°

4

RMS:
50mV



Desapuntamiento de 90°

Conclusions and future lines

- The main goal of this project was to upgrade the base transceiver system capabilities.
- A matched filter has been studied and implemented.
- The matched filter has been tested and integrated into the transceiver system.
- Successfully transmissions have been achieved with distances near to 4 meters and disorientation up to 90° in the receiver.
- In futures works...
- Automatic programmable gain must be implemented via hardware to fit the receiver signal with the ADC dynamic range.
- A high pass filter must be implemented to achieve a better SNR.
- The transceiver should be upgraded to perform streaming communications. Audio streaming is the closest goal.